

e per ordine, la componente orizzontale  $X_1$  in  $B$ , il momento  $X_2$  nella stessa sezione e quello  $X_3$  in  $A$ .

L'effetto del carico esplicito sul sistema che così si ottiene è, limitandoci al momento, quello indicato in fig. 47 a); per comodità separeremo anche qui, come altra volta si è fatto, e li contrassegneremo con uno e due apici rispettivamente, i contributi del carico ripartito e quelli della forza  $H$ ; le reazioni dei vincoli sono allora successivamente:

$$A_o = A'_o + A''_o = \frac{pl}{2} - \frac{hH}{l}, \quad B_o = B'_o + B''_o = \frac{pl}{2} + \frac{hH}{l}, \quad H_o = -H.$$

Con riguardo al riferimento  $A(z, y)$  di fig. 47 a), si hanno in conseguenza sui vari tronchi del sistema le leggi del momento  $M_o$  indicate nella Tabella I/23, alle quali fariscontrò il diagramma della fig. 47 a), dove per il tronco parabolico è stata assunta come fondamentale la corda  $CD$ .

Alla condizione isolata  $X_i = 1$  corrispondono poi le leggi, già note dall'Esercizio 11, riportate nella stessa Tabella I/23 e il diagramma di fig. 47 b), con la stessa avvertenza di sopra per la fondamentale relativa al tronco intermedio.

TRONCO	$M_0$	$M_1$	$M_2$	$M_3$
$AC (0 \leq y \leq h)$	$+Hy$	$-1.y$	$0$	$+\bar{1}$
$CD (0 \leq z \leq l)$	$+\left(\frac{Hh}{l} + \frac{pz}{2}\right)(l-z)$	$-1.y$	$+\frac{1}{l}z$	$+\frac{1}{l}(l-z)$
$BD (0 \leq y \leq h)$	$0$	$-1.y$	$+\bar{1}$	$0$

TABELLA I/23

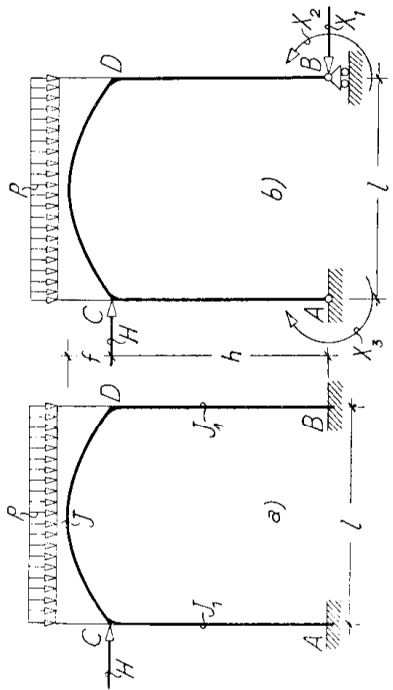


Fig. 46

Per quanto riguarda infine le altre due condizioni unitarie  $X_2 = \bar{1}$  e  $X_3 = \bar{1}$ , le cose vanno in modo perfettamente identico a come già riconosciuto all'Esercizio precedente (fig. 45 b)), riprodotto d'altronde in figura 47 c) dai due diagrammi simmetrici a tratto pieno

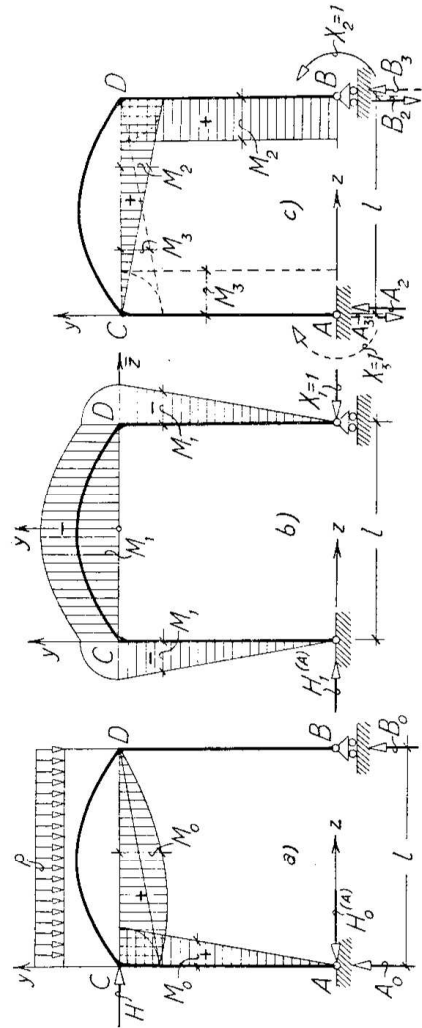


Fig. 47

e punteggiato, e indicato nelle ultime due colonne della Tabella I/23.

Ne seguono per i prodotti  $MM_i$  nei singoli tronchi le leggi raccolte nella Tabella III/23, nella quale, per ragioni di ingombro, è stato posto  $z' = l - z$ , e dove è notoriamente da intendere che  $M = M_o + M_1X_1 + M_2X_2 + M_3X_3$ .

TABELLA III/23

TRONCO	$AC(0 \leq y \leq l)$	$CD(0 \leq z \leq l)$	$BD(0 \leq y \leq h)$
$MM_1$	$-1.(Hy - 1.X_4y + \bar{1}.X_3)y^{-1} \left[ \left( \frac{Hh}{l} + \frac{pz}{2} \right) z' - 1.X_1y + \frac{\bar{1}}{l}X_2.z + \frac{\bar{1}.X_3}{l}z' \right] y^{-1}(-1.X_4y + \bar{1}.X_3)y$		
$MM_2$	$0$	$+ \bar{1} \left[ \left( \frac{Hh}{l} + \frac{pz}{2} \right) z' - 1.X_4y + \frac{\bar{1}}{l}X_2.z + \frac{\bar{1}.X_3}{l}z' \right] \frac{z}{l} + \bar{1}.(-1.X_4y + \bar{1}.X_3)$	
$MM_3$	$+1.(Hy - 1.X_4y + \bar{1}.X_3)^{-1} \left[ \left( \frac{Hh}{l} + \frac{pz}{2} \right) z' - 1.X_1y + \frac{\bar{1}}{l}X_2.z + \frac{\bar{1}.X_3}{l}z' \right] \frac{z'}{l}$		$0$

Relativamente al tronco parabolico, onde esprimere in modo comodo nelle leggi  $MM_i$  la  $y$  in funzione di  $z$ , conviene passare, per il calcolo, dal riferimento  $A(z, y)$  finora utilizzato a quello costituito dalla corda  $\bar{z}$  e dall'asse  $\bar{y}$  dell'arco (fig. 47 b)), riferimento nel

quale l'equazione dell'arco ha notoriamente la forma:

$$\bar{y} = f - \frac{4}{l^2} f \bar{z}^2 = f(l - \frac{4}{l^2} \bar{z}^2).$$

Detto passaggio si compie in modo automatico introducendo nelle espressioni  $MM_i$  della Tabella I le seguenti ovvie relazioni fra le vecchie e le nuove coordinate:

$$(2) \quad y = h + \bar{y} \quad ; \quad z = \frac{l}{2} + \bar{z} \quad \text{e quindi anche} \quad z' = l - z = \frac{l}{2} - \bar{z}.$$

Con tali sostituzioni, è posto di più:

$$(3) \quad h_o = h + f \quad ; \quad \lambda = \frac{2\bar{z}}{l},$$

è facile riconoscere che, limitatamente al tronco parabolico, queste leggi diventano rispettivamente:

$$MM_1 = -1 \left[ \frac{Hh}{2}(1-\lambda) + \frac{pl^2}{8}(1-\lambda^2) - 1.X_1(h_o - f\lambda^2) + \frac{I}{2}(\bar{1}.X_2 + \bar{1}.X_3) + \right. \\ \left. + \frac{I}{2}(\bar{1}.X_2 - \bar{1}.X_3)\lambda \right] (h_o - f\lambda^2);$$

$$MM_2 = +\bar{1} \left[ \frac{Hh}{2}(1-\lambda) + \frac{pl^2}{8}(1-\lambda^2) - 1.X_1(h_o - f\lambda^2) + \frac{I}{2}(\bar{1}.X_2 + \bar{1}.X_3) + \right. \\ \left. + \frac{I}{2}(\bar{1}.X_2 - \bar{1}.X_3)\lambda \right] \frac{I}{2}(1+\lambda); \\ MM_3 = +\bar{1} \left[ \frac{Hh}{2}(1-\lambda) + \frac{pl^2}{8}(1-\lambda^2) - 1.X_1(h_o - f\lambda^2) + \frac{I}{2}(\bar{1}.X_2 + \bar{1}.X_3) + \right. \\ \left. + \frac{I}{2}(\bar{1}.X_2 - \bar{1}.X_3)\lambda \right] \frac{I}{2}(1-\lambda).$$

Sulla base di questi elementi e della Tabella III/23, le tre equazioni di elasticità occorrenti a determinare le tre incognite  $X_1, X_2, X_3$ , stante l'ipotesi che gli incastri siano rigidi, e osservando che in virtù della seconda delle posizioni (2) i limiti di integrazione si cambiano da  $(0, l)$  per  $z$  in  $(-\frac{l}{2}, +\frac{l}{2})$  per  $\bar{z}$  e, successivamente, per la seconda delle (3), in  $(-l, +l)$  per  $\lambda$ , essendo di più  $d\bar{z} = \frac{l}{2}d\lambda$ , divengono:

$$1^{\text{a}}) \quad 0 = \frac{l}{J_1} \int_0^h \left[ -(Hy - 1.X_1y + \bar{1}.X_3) \right] y dy - \frac{l}{J_1} \int_0^h \left[ -1.X_1y + \bar{1}.X_2 \right] y dy - \\ - \frac{l}{J_1} \int_{-l}^{+l} \left[ \frac{Hh}{2}(1-\lambda) + \frac{pl^2}{8}(1-\lambda^2) - 1.X_1(h_o - f\lambda^2) + \frac{l}{2}(1.X_2 + 1.X_3) + \frac{l}{2}(1.X_2 - 1.X_3)\lambda \right] \times \\ \times (h_o - f\lambda^2) \frac{l}{2} d\lambda ;$$

$$2^{\text{a}}) \quad 0 = \frac{l}{J_1} \int_{-l}^{+l} \left[ \frac{Hh}{2}(1-\lambda) + \frac{pl^2}{8}(1-\lambda^2) - 1.X_1(h_o - f\lambda^2) + \frac{l}{2}(\bar{1}.X_2 + \bar{1}.X_3) + \frac{l}{2}(\bar{1}.X_2 - \bar{1}.X_3)\lambda \right] \times \\ \times \frac{l}{4}(l+\lambda) d\lambda + \frac{l}{J_1} \int_0^h (-1.X_1y + \bar{1}.X_2) dy ;$$

$$3^{\text{a}}) \quad 0 = \frac{l}{J_1} \int_{-l}^{+l} \left[ \frac{Hh}{2}(1-\lambda) + \frac{pl^2}{8}(1-\lambda^2) - 1.X_1(h_o - f\lambda^2) + \frac{l}{2}(\bar{1}.X_2 + \bar{1}.X_3) + \frac{l}{2}(\bar{1}.X_2 - \bar{1}.X_3)\lambda \right] \times \\ \times \frac{l}{4}(l-\lambda) d\lambda + \frac{l}{J_1} \int_0^h (Hy - 1.X_1y + \bar{1}.X_3) dy .$$

Da queste, sviluppando gli integrali e riducendo, si perviene in definitiva al seguente sistema:

$$1.X_1 \left[ \frac{2}{3} \vartheta h^3 + l(h^2 + \frac{4}{3}hf + \frac{8}{15}f^2) \right] - (\bar{1}.X_2 + \bar{1}.X_3) \left[ \frac{3h^2}{2} + l\left(\frac{h}{2} + \frac{f}{3}\right) \right] = \\ = H \left[ \frac{3h^3}{3} + hl\left(\frac{h}{2} + \frac{f}{3}\right) \right] + \frac{l}{12} p l^3 (h + \frac{4}{5}f) ;$$

$$1.X_1 \left[ \frac{l}{2} \vartheta h^2 + l\left(\frac{h}{2} + \frac{f}{3}\right) \right] - \bar{1}.X_2 \left[ \vartheta h + \frac{l}{3} \right] - \bar{1}.X_3 \frac{l}{6} = \frac{Hhl}{6} + \frac{pl^3}{24} ;$$

$$1.X_1 \left[ \frac{l}{2} \vartheta h^2 + l\left(\frac{h}{2} + \frac{f}{3}\right) \right] - \bar{1}.X_2 \frac{l}{6} - \bar{1}.X_3 \left[ \vartheta h + \frac{l}{3} \right] = H \left[ \frac{\vartheta h^2}{2} + \frac{hl}{3} \right] + \frac{pl^3}{24} .$$

Con evidente significato dei simboli, per facilitare la risoluzione, porranno il sistema nella forma:

$$\begin{cases} 1.X_1 k_1 - (\bar{1}.X_2 + \bar{1}.X_3) k_2 &= k_{10} \\ 1.X_1 k_1' - \bar{1}.X_2 k_2' - \bar{1}.X_3 k_3' &= k_{20} \\ 1.X_1 k_1' - \bar{1}.X_2 k_2'' - \bar{1}.X_3 k_3'' &= k_{30} \end{cases}$$

Procedendo in modo del tutto analogo a quello seguito all'Esercizio precedente, se alla 2<sup>a</sup> di queste equa-

zioni una volta si toglie una volta si aggiunge la terza e se si fanno, stanti le ovvie relazioni sotto

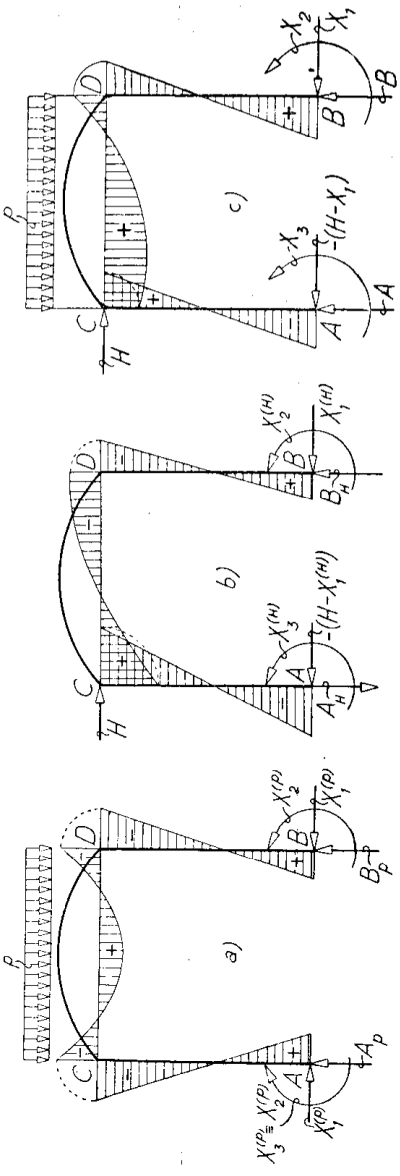


Fig. 48

indicate fra i coefficienti  $k'$  e  $k''$ , queste ulteriori posizioni:

$$(a) \quad k'_2 + k''_2 = k'_3 + k''_3 = \vartheta h + \frac{l}{2} = \bar{k}_2 ;$$

$$(b) \quad k'_2 - k''_2 = -(k'_3 - k''_3) = \vartheta h + \frac{l}{6} = \bar{k}_3 ;$$

$$(c) \quad k'_{20} + k''_{30} = H \frac{h}{2} (l + \vartheta h) + \frac{hl^2}{12} = \bar{k}_{20} ;$$

$$(d) \quad -(k'_{20} - k''_{30}) = -H \frac{h}{2} \left( \frac{l}{3} + \vartheta h \right) = \bar{k}_{30} ,$$

si ottiene nella somma e nella differenza delle due incognite  $X_2$  e  $X_3$  il sistema parziale:

$$(e) \quad \bar{1}.X_2 + \bar{1}.X_3 = \frac{1.X_1 \cdot 2k'_1 - \bar{k}_{30}}{k_2} ;$$

$$(f) \quad \bar{1}.X_2 - \bar{1}.X_3 = \frac{\bar{k}_{30}}{\bar{k}_3} .$$

Dalla prima delle stesse equazioni è però anche per la somma delle medesime due incognite:

$$(e') \quad \bar{1}.X_2 + \bar{1}.X_3 = \frac{1.X_1 \cdot k_1 - k_{30}}{k_2} .$$

Uguagliando perciò i secondi membri delle (e) ed (e'), discende intanto per la 1.X<sub>i</sub> la soluzione:

$$(g_1) \quad 1.X_i = \frac{\bar{k}_{20} k_2 - k_{i0} \bar{k}_2}{2 k'_1 k_2 - k_1 \bar{k}_2}.$$

Per sostituzione nella (e), si dispone in definitiva per determinare i due momenti al piede del seguente sistema:

$$\begin{aligned} \bar{1}.X_2 + \bar{1}.X_3 &= \frac{2 k'_1 (\bar{k}_{20} k_2 - k_{i0} \bar{k}_2) - \bar{k}_{20} (2 k'_1 k_2 - k_1 \bar{k}_2)}{\bar{k}_2 (2 k'_1 k_2 - k_1 \bar{k}_2)} ; \\ \bar{1}.X_2 - \bar{1}.X_3 &= \frac{\bar{k}_{30}}{k_3}, \end{aligned}$$

dal quale per somma e differenza si ottengono immediatamente:

$$(g_2) \quad \bar{1}.X_2 = \frac{1}{2} \left[ \frac{2 k'_1 (\bar{k}_{20} k_2 - k_{i0} \bar{k}_2) - \bar{k}_{20} (2 k'_1 k_2 - k_1 \bar{k}_2)}{\bar{k}_2 (2 k'_1 k_2 - k_1 \bar{k}_2)} + \frac{\bar{k}_{30}}{k_3} \right] ;$$

$$(g_3) \quad \bar{1}.X_3 = \frac{1}{2} \left[ \frac{2 k'_1 (\bar{k}_{20} k_2 - k_{i0} \bar{k}_2) - \bar{k}_{20} (2 k'_1 k_2 - k_1 \bar{k}_2)}{\bar{k}_2 (2 k'_1 k_2 - k_1 \bar{k}_2)} - \frac{\bar{k}_{30}}{k_3} \right].$$

Le (g<sub>1</sub>), (g<sub>2</sub>) e (g<sub>3</sub>) costituiscono la soluzione del problema; per ottenerla mediante i dati, cioè i carichi *p* ed *H* e le caratteristiche geometriche del sistema, basterebbe introdurvi per i *k<sub>i</sub>*, *k'<sub>i</sub>*, *k<sub>i0</sub>* le posizioni convenute di sopra; lasciamo questo compito a chi legge, come gli lasciamo anche di riconoscere, una volta in possesso della soluzione nella forma definitiva, l'andamento del diagramma dei momenti indicato nella fig. 48 a) b), separatamente per il contributo del carico uniforme *p* e della forza *H*, e nella fig. 48 c) che cumula invece gli effetti.

**Esercizio 24** — Risolvere la travatura reticolare di fig. 49 a), del tipo Poncneau, con luce *l* e rialzamento *p*, nell'ipotesi che le cerriere siano rigide.

La travatura, internamente isostatica, presenta una indeterminazione esterna: ad es. la componente oriz-

zontale  $X$  della reazione della cerniera  $B$  (fig. 49 b)).

La condizione di carico indicata per quella tipica agente sopra una capriata per copertura: il carico verticale  $p$  può infatti tener conto del peso proprio e di un eventuale sovraccarico di neve; i carichi uniformi  $q$  e  $q'$  normali alle due falda, possono invece assomilare, insieme, l'azione del vento, e propriamente: q l'azione diretta sulla falda di sinistra, q' quella di risucchio sulla falda di destra (¹).

Nei due casi, grazie all'interposizione, fra la capriata e la piccola orditura che sostiene la coperta, di elementi longitudinali (arcucci o terere) posati in corrispondenza dei nodi, la capriata risulta gravata

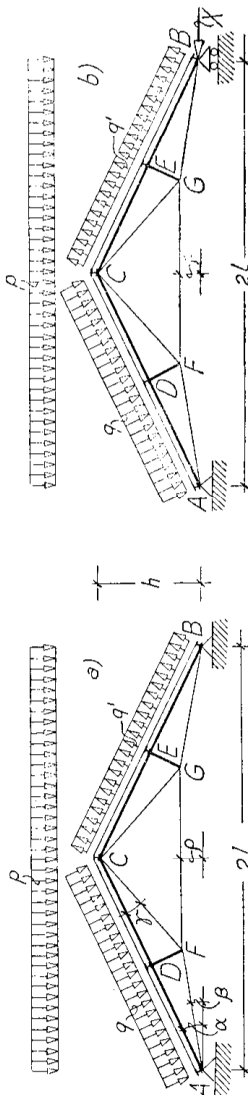


Fig. 49

da carichi concentrati ai nodi; sicchè, separandole per comodità, le due condizioni in parola equivalgono a quelle indicate nello schema di fig. 50 a), al quale pertanto ci riferiremo per risolvere la travatura.

In armonia a quanto praticato fino ad ora nei sistemi a parete piena e a quanto suggerisce la (4') di pag. 16, nella quale gli sforzi  $S$  — forniti dalla (5') di pag. 17 — hanno per il caso attuale la forma semplice:

$$(a) \quad S = S_o + S' X ,$$

si tratta di determinare preventivamente in tutte le aste della travatura principale gli  $S_o$  che conseguono alla condizione effettiva di carico e quelli  $S'$  che conseguono invece all'unica forza fittizia  $X = 1$  applicata orizzontalmente in  $B$ .

---

(¹) V. quando detto all'Esercizio 2 pag. 25.

Separando gli effetti dei due carichi espliciti, gli  $S_o$  possono porsi nella forma:

$$(b) \quad S_o = S_o^{(p)} + S_o^{(q,q')} ,$$

dove è manifesto che il primo addendo è relativo al carico verticale, il secondo invece è relativo al vento. Avendo qui la ricerca scopo puramente indicativo sulla condotta del calcolo, ci limiteremo, per brevità, a considerare il solo carico verticale.

Tanto gli  $S_o$ , che gli  $S'$ , trattandosi di travatura a nodi canonici <sup>(1)</sup>, possono essere determinati nel modo più comodo mediante un cremoniano; quello relativo agli  $S_o$ , per carico verticale, è indicato in fig. 50 a'), e poteva essere costruito per mezza travatura soltanto, grazie alla simmetria; si può non di meno, procurandoci così insieme un controllo delle operazioni grafiche, dare facilmente espressioni analitiche degli  $S_o$  in funzione del carico  $P$  e degli elementi geometrici dello schema, risolvendo a catena, da un nodo all'altro, gli  $n$  sistemi di due equazioni in due incognite, nei quali si spezza il sistema generale delle  $2n$  equazioni necessarie a determinare le  $2n$  incognite del problema, fra cui anche le reazioni dei vincoli <sup>(2)</sup>.

Per queste ultime, la simmetria fornisce intanto in modo immediato:

$$(c) \quad A = B = \frac{1}{2} \left( 3P + 2 \cdot \frac{P}{2} \right) = 2P .$$

Nel nodo  $A$ , gli sforzi nelle aste  $8$  e  $9$  devono dunque equilibrare la forza verticale:

$$(c') \quad A_o = A - \frac{P}{2} = \frac{3}{2} P ,$$

risultante delle forze esterne nel nodo stesso.

Se si suppone, come di solito, che le due aste funzionino ambedue da tiranti, con riguardo al riferi-

---

<sup>(1)</sup> Cfr. MAGINI - Statica Grafica - Ed. C. Cursi Pisa, 1947, pag. 283.

<sup>(2)</sup> Cfr. "l. c."

mento  $A(z, y)$  e alle notazioni di fig. 50 a), si ha allora negli sforzi  $S_8$  e  $S_9$  il seguente sistema di equazioni

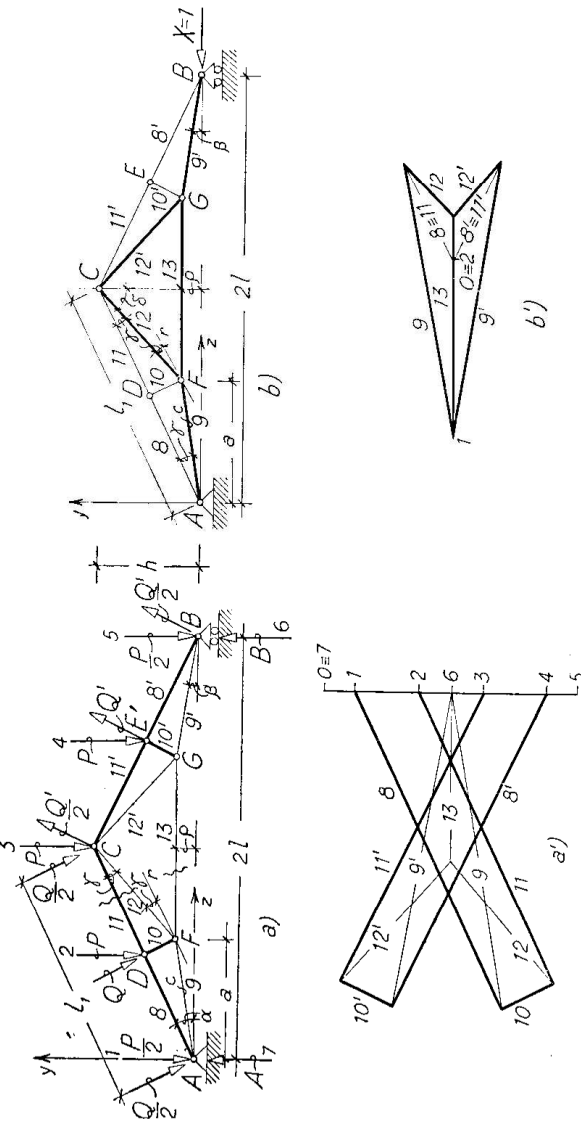


Fig. 50

[esprimenti l'equilibrio alla traslazione orizzontale e verticale del nodo A]:

$$(1) \quad \begin{cases} S_8 \cos\alpha + S_9 \cos\beta = 0 \\ S_8 \sin\alpha + S_9 \sin\beta + \frac{3}{2} P = 0 \end{cases}$$

dove è:

$$(d) \quad \sin\alpha = \frac{h}{l_1} ; \quad \cos\alpha = \frac{l}{l_1} ; \quad \sin\beta = \frac{\rho}{c} ; \quad \cos\beta = \frac{a}{c} .$$

Con le posizioni:

$$(e) \quad \begin{cases} k_8 = \frac{3}{2} \cdot \frac{1}{\sin\alpha - \cos\beta} = \frac{3}{2} \cdot \frac{a l_1}{a h - \rho l} ; \\ k_9 = \frac{3}{2} \cdot \frac{1}{\cos\beta \tan\alpha - \sin\beta} = \frac{3}{2} \cdot \frac{c l}{a h - \rho l} , \end{cases}$$

è immediato riconoscere che il sistema (1) ammette come soluzione:

$$(f_i) \quad S_8 = -k_8 P ; \quad S_9 = k_9 P ;$$

delle due aste dunque, contrariamente al supposto e

come invece risulta dal cremoniano, la 8 funziona da puntone.

Nel nodo  $D$ , dove è già noto lo sforzo  $S_8$ , si scriverebbe ora in modo analogo un sistema di due equazioni nelle incognite  $S_{10}$  e  $S_{11}$  proiettando sull'orizzontale e sulla verticale. È però più conveniente scegliere come direzioni di proiezione quella della falda  $AC$  e la sua ortogonale, cioè quella del contraffisso  $DF$ , in quanto così le due equazioni contingono ognuna una sola incognita; si ha infatti in tal modo il sistema:

$$(2) \quad \begin{cases} S_{10} + P \cos\alpha = 0 \\ S_{11} + k_8 P - P \sin\alpha = 0 \end{cases}$$

che ha per soluzione:

$$(f_2) \quad S_{10} = -P \cos\alpha = -k_{10} P \quad ; \quad S_{11} = -(k_8 - \sin\alpha) P = -k_{11} P \quad ,$$

avendo posto, per uniformità di notazioni:

$$(g) \quad k_{10} = \cos\alpha = \frac{l}{l_1} \quad ; \quad k_{11} = k_8 - \sin\alpha = k_8 - \frac{h}{l_1} \quad .$$

Ai sensi delle (f<sub>2</sub>) e ancora in accordo col cremoniano, ambedue le aste  $I0$  e  $II$  sono dunque puntoni.

Nel nodo  $F$ , dove sono già noti  $S_9$  e  $S_{10}$ , lo sforzo nell'asta  $13$  si può determinare nel modo più rapido praticando una sezione di Ritter che attraversi con essa le aste  $II$  e  $12$  (fig. 50 a) ed esprimendo l'equilibrio delle forze per es. alla sinistra intorno al nodo  $C$  di colmo (polo della stessa asta  $13$ ). Supponendo che  $S_{13}$  sia di trazione, si ottiene così l'equazione:

$$(3) \quad -S_{13}(h - \rho) + A_o l - P \frac{l}{2} = 0 \quad ,$$

da cui, posto come sopra:

$$(h) \quad k_{13} = \frac{l}{h - \rho} = \frac{l}{tg\alpha - \bar{k}} \quad , \quad (\text{con } \bar{k} = \rho/l)$$

la soluzione:

$$(f_3) \quad S_{13} = k_{13} P \quad .$$

Per ottenere  $S_{12}$ , conviene infine proiettare gli sforzi agenti sul nodo  $F$  nella direzione  $r$  della falda,

direzione che fa angolo  $\gamma = \alpha - \beta$  con ognuna delle aste  $g$  e  $l_2$ , e angolo  $\alpha$  con l'asta  $l_3$  di catena. L'equazione di equilibrio in tale direzione, con riguardo ai sensi degli sforzi noti e supponendo ancora che la  $l_2$  sia tirante, diviene:

$$(4) \quad S_{l_2} \cos\gamma - S_g \cos\gamma + S_{l_3} \cos\alpha = 0 ,$$

dalla quale, osservando che è (fig. 50 b)):

$$\cos\gamma = \frac{l_1}{2c} \quad \text{e} \quad \cos\delta = \frac{h - \rho}{c} ,$$

e posto:

$$(1) \quad k_{l_2} = \left[ \frac{3}{2} \cdot \frac{cl}{ah - \rho l} - \frac{2c}{h - \rho} \left( \frac{l}{l_1} \right)^2 \right] = \left[ \frac{3}{2} \cdot \frac{l}{\cos\beta \tan\alpha - \sin\beta} - \frac{2 \cos^2\alpha}{\cos\delta} \right] ,$$

risulta:

$$(f_1) \quad S_{l_2} = k_{l_2} P .$$

Con procedimento del tutto parallelo, si possono determinare gli sforzi  $S'$  dovuti a una forza orizzontale  $X = 1$  in  $B$ , diretta ad esempio verso l'interno (fig. 50 b)).

Il relativo cremoniano è quello di fig. 50 b'), limitabile ancora, per simmetria, a mezza travatura. Analogamente questi sforzi si determinano allo stesso modo di sopra.

Nel nodo  $A$ , dove la reazione del vincolo vale  $H_1^{(A)} = 1$ , si ha il sistema:

$$(e') \quad \begin{cases} S_g' \cos\alpha + S_g' \cos\beta + 1 = 0 \\ S_g' \sin\alpha + S_g' \sin\beta = 0 \end{cases}$$

che ammette per soluzione:

$$(f'_1) \quad \begin{cases} S_g' = 1 \cdot \frac{\sin\beta}{\sin\gamma} = 1 \cdot \frac{\rho}{d} = 1 \cdot k'_s ; \\ S_g' = 1 \cdot \frac{\sin\alpha}{\sin\gamma} = 1 \cdot \frac{ch}{l_1 d} = 1 \cdot k'_g . \end{cases}$$

Nel nodo  $D$ , scarico, dalle stesse equazioni di equilibrio utilizzate per il calcolo degli  $S_o$ , risulta ora più semplicemente:

$$(f'_2) \quad S'_{l_0} = 0 , \quad S'_m \equiv S'_s = 1 \cdot k'_s .$$

Nel nodo  $F$ , utilizzando ancora la sezione di Ritter per le aste  $11$ ,  $12$  e  $13$ , è ora anche più rapidamente:

$$(f'_3) \quad S'_{13} = -1 \cdot \frac{h}{h-\rho} = -1 \cdot k'_{13};$$

proiettando poi tutti gli sforzi nella direzione  $r$  della falda, risulta per  $S'_{12}$  l'equazione:

$$S'_{12} \cos\gamma + 1 \cdot k'_{13} \cos\gamma - 1 \cdot k'_{13} \cos\alpha = 0 ,$$

che ha come soluzione:

$$(f'_4) \quad S'_{12} = 1 \cdot \left[ \frac{h}{h-\rho} \cdot \frac{\cos\alpha}{\cos\gamma} - \frac{\sin\alpha}{\sin\gamma} \right] = 1 \cdot \left[ \frac{2c}{h-\rho} \cdot \frac{lh}{l_1^2} - \frac{ch}{l_1 d} \right] = 1 \cdot k'_{12} .$$

Tutti gli elementi determinati sono raccolti nelle prime due colonne della Tabella I/24; non sarà male osservare al riguardo come, in conseguenza del senso previsto per la  $X=1$ , tutti gli sforzi  $S'$  risultino di segno opposto ai corrispondenti  $S_0$ .

Per procedere ora oltre nel calcolo della  $X$ , è necessario, secondo la (4') di pag. 16, conoscere le *estensibilità*  $\rho$  di tutte le aste della travatura, vale a dire avere prefissato le dimensioni delle aste medesime.

È su questo punto che si richama l'attenzione, avvertendo che quanto diremo costituisce una norma generale per la risoluzione delle travature iperstatiche.

Se, per chi non abbia la debita esperienza in calcoli del genere, lascia perplessi, in mancanza di dati riferimenti, il predimensionamento di una struttura a parete piena, tanto più perplessi lascia quello di una travatura iperstatica, al punto da richiedere molte e faticose tentativi; qualche considerazione comparativa sugli elementi fissati di sopra, vale invece a orientare verso un procedimento speditivo che, mentre riduce notevolmente il lavoro, porta insieme a un proporzionamento soddisfacente.

Dalla Tabella, o dai cremoniani, si riconosce intanto che, nel sistema principale, le aste di un corrente funzionano o tutte da puntoni o tutte da tiranti; le aste di parete invece (le  $10$  e  $10'$ ,  $12$  e  $12'$ ) hanno di

soltanto funzione mista; d'altra parte, uno sguardo anche sommario alle espressioni dei coefficienti  $k_i$ , mostra che per queste ultime aste tali coefficienti hanno valore notevolmente inferiore a quelli per le aste di contorno, quando non sono addirittura nulli; nella somma dei prodotti  $S_o S'$  e in quella dei quadrati  $S^2$  che figurano nella (4') di pag. 16, le aste di parete portano quindi un contributo modestissimo o addirittura nullo; questo dice che il valore della ipersstatica dipende preponderantemente dalle aste di contorno e autorizza quindi a prescindere, in un calcolo di prima approssimazione, dalla presenza delle aste di parete, limitando il predimensionamento a quelle di contorno.

Al proposito, per procedere con rigore ed economia, data la diversa funzione statica delle aste dei due correnti e, in generale, la diversa entità dello sfor-

TABELLA I/24

ASTA N°	$S_0$	$S'$	$S_0 S'$	$S'^2$	$\rho^* = \frac{l}{A}$	$S_0 S' \rho^*$	$S'^2$
8 e 8'	$-k_s P$	$+1.k'_s$	$-1.k_s k'_s P$	$+1^2.k_s'^2$	$l_i/2A_s$	$-1.\frac{k_s k'_s l_i}{2A_s}P$	$1^2.\frac{k_s'^2 l_i}{2A_s}$
9 e 9'	$+k_9 P$	$-1.k'_9$	$-1.k_s k'_9 P$	$+1^2.k'_9$	$c/A_i$	$-1.\frac{k_9 k'_9 c}{A_i}P$	$1^2.\frac{k_9'^2 c}{A_i}$
10 e 10'	$-k_{10} P$	0	0	0	—	0	0
11 e 11'	$-k_{11} P$	$+1.k'_s$	$-1.k_{11} k'_s P$	$+1^2.k'_s$	$l_i/2A_s$	$-1.\frac{k_{11} k'_s l_i}{2A_s}P$	$1^2.\frac{k_{11}'^2 l_i}{2A_s}$
12 e 12'	$+k_{12} P$	$-1.k'_s$	$-1.k_{12} k'_{12} P$	$+1^2.k'_{12}$	$c/A_i$	$-1.\frac{k_{12} k'_{12} c}{A_i}P$	$1^2.\frac{k_{12}'^2 c}{A_i}$
I3	$+k_{13} P$	$-1.k'_{13}$	$-1.k_{13} k'_{13} P$	$+1^2.k'_{13}$	$(l-a)/A_i$	$-1.\frac{k_{13} k'_{13} (l-a)}{A_i}P$	$-1.\frac{k'_{13}^2 (l-a)}{A_i}$

zo da asta ad asta in uno stesso corrente, le dimensioni dovrebbero essere differenziate; ciò che comporterebbe ugualmente un lavoro lungo e non poche difficoltà. Per snellire il calcolo, si può invece convenire in un primo tempo di assegnare una sezione unica per ognuno dei correnti, in modo da far dipendere la soluzione dal rapporto delle due sezioni.

Tutti gli elementi per il calcolo e la procedura di questo si rilevano, senza bisogno di commenti, dalla Tabella I/24; ivi sono state indicate con  $A_s$  e  $A_i$  ri-

spettivamente le aree del corrente superiore e inferiore; nel caso del nostro schema, si hanno tre soli valori dell'estensibilità ridotta  $\rho^* = \rho E = l/A$  per le asta di contorno, avendo valutato, in virtù della simmetria, per metà della lunghezza quella dell'asta  $l_3$  di catena. L'equazione (4') di pag. 16, stante l'ipotesi fatta sui vincoli, diviene:

$$\theta = \Sigma S S' \rho^* = \Sigma S_o S' \rho^* + 1 \cdot X \Sigma S'^2 \rho^*,$$

ed ha per soluzione:

$$(1) \quad 1 \cdot X = - \frac{\Sigma S_o S' \rho^*}{\Sigma S'^2 \rho^*}.$$

Limitandoci a mezza travatura, le due sommatorie contengono ciascuna solo quattro termini; propriamente è per disesso:

$$(1') \quad 1 \cdot X = \frac{\frac{I}{A_s} (k_8 + k_{11}) \frac{k'_s l_1}{2} + \frac{I}{A_i} [k_9 k'_9 c + k_{13} k'_{13} (l-a)]}{\frac{k_8'^2 l_1}{A_s} + \frac{I}{A_i} [k_9'^2 c + k'^2_{13} (l-a)]} = \\ = \frac{\nu (k_8 + k_{11}) \frac{k'_s l_1}{2} + [k_9 k'_9 c + k_{13} k'_{13} (l-a)]}{\nu k_8'^2 l_1 + k_9'^2 c + k'^2_{13} (l-a)} . \quad \left[ \nu = \frac{A_i}{A_s} \right]$$

Per un primo tentativo, potremmo ad es. assumere  $\nu = 1$ , cioè supporre per tutto il contorno un'unica sezione; anche a parte le entità specifiche degli sforzi, poichè il proporzionamento a carico di punta richiede notoriamente una maggiorazione delle dimensioni nei confronti della semplice sollecitazione assiale, è però prevedibile una sezione maggiore per il corrente compresso rispetto a quello teso; sicchè è di solito opportuno che il rapporto  $\nu = A_i : A_s$  fra le sezioni dei due correnti sia minore dell'unità; per es. si può assumere  $\nu = 1/3$  o  $\nu = 1/2$ .

Calcolata la  $X$  per il valore scelto di  $\nu$  e introdotta nella espressione (a) degli sforzi  $S$  effettivi, si può dimensionare a carico di punta l'asta del corrente compresso in cui si verifica la massima compressione; stando al valore fissato per  $\nu$ , al corrente teso

competerebbe allora automaticamente una sezione *netta*<sup>(1)</sup> pari a  $vA_s$ ; in generale però tale sezione risulterà o esuberante o insufficiente; rinunciando al valore prefissato per  $v$ , se ne potrà fare in ognuno dei due casi un dimensionamento diretto in base allo sforzo massimo che il calcolo di sopra indicava per il corrente tesso; alle due sezioni  $A_s$  ed  $A_i$  così determinate corrisponde ora un diverso valore di  $v$  e quindi, per la (1'), un nuovo valore di  $X$ , come anche corrispondono nuovi valori per gli sforzi massimi nei due correnti.

Se rispetto a questi due nuovi massimi sono soddisfatte le condizioni di stabilità per le due aste relative, potremmo anche passare in un secondo tempo, per successiva approssimazione, a differenziare le sezioni lungo i due correnti da asta ad asta.

Naturalmente dovrebbe dopo ciò essere ripetuto il calcolo di  $X$  e quello degli sforzi  $S$  effettivi, e ricontrollata la stabilità una ad una per le aste del contorno. Una volta soddisfatte tutte le verifiche si può assumere l'ultimo valore di  $X$  come definitivo e passare finalmente al proprorionamento delle aste di parete, sulla base degli sforzi  $S$  effettivi che il detto valore di  $X$  vi induce ai sensi della (a).

**Esercizio 25** — Determinare in che misura la trave semplice  $AB$  di luce  $l$  viene scaricata dal sistema simmetrico di rinforzo indicato in fig. 51a), e determinare gli abbassamenti della mezzeria e delle sezioni a un quarto della luce dagli appoggi.

Si tratta qui per la prima volta di utilizzare il principio dei lavori virtuali nel calcolo di spostamenti di punti, di applicarlo cioè, come avvertimmo al secondo capoverso di pag. 17, in modo reciproco a come

---

(1) Costruttivamente, il collegamento di un'asta ai nodi viene realizzato, ad es. nelle strutture metalliche, a mezzo di chiodatura o di saldatura; per sezione *netta* si deve perciò intendere quella depurata dagli indebolimenti dei fori ovvero quella efficiente della saldatura.

si è finora praticato per la risoluzione dei sistemi iperstatici.

Ancora viene associato alla deformazione effettiva, riguardata come virtuale, un particolare sistema di forze-tensioni equilibrato quanto mai semplice, precisamente quello che nasce nel sistema principale (o anche in una sua parte soltanto) per effetto di una forza unitaria applicata nel punto e nella direzione dello spostamento voluto; non già però per legare, come si è fatto finora, in una equazione di elasticità le incognite iperstatiche, imponendo localmente il rispetto della deformazione, cioè la congruenza di questa, ma per determinare, assicurata a priori la congruenza, un elemento della deformazione stessa.

Come avvertimmo al passo citato, ciò equivale formalmente a introdurre negli integrali che figurano al secondo membro della (4) di pag. 16, per  $M$ ,  $N$  e  $T$  le caratteristiche della sollecitazione nel sistema effettivo, come primi elementi noti, e in luogo di  $M_k$ ,  $N_k$  e  $T_k$  le caratteristiche nel sistema principale per la suddetta condizione semplice di carico. Per parte loro gli  $M$ ,  $N$  e  $T$  avranno poi una determinazione immediata se il sistema in esame è isostatico, mediata invece, previa risoluzione del sistema, se questo è iperstatico.  
È questo secondo il caso nostro, in quanto il sistema è una volta iperstatico internamente, l'incognita sovrabbondante identificandosi con lo sforzo  $X$  nel puntone  $CD$ ; occorre perciò determinare preventivamente tale incognita.

Col procedimento già seguito altrove (cfr. gli Esercizi 13 ÷ 16) si svincolerà ad es. l'articolazione in  $C$ , riducendoci così, come sistema principale, all'insieme della trave semplice e del sistema di rinforzo, collegati mutuamente in corrispondenza dei vincoli esterni  $A$  e  $B$  attraverso le articolazioni di estremità (fig. 54 b). In siffatto sistema, il carico uniforme  $p$  interessa unicamente la trave, con un momento  $M_0$  variabile secondo la nota legge parabolica simmetrica (fig. 54 b):

$$(a) \quad M_0 = \frac{pl}{2}z - \frac{pz^2}{2} = \frac{pz}{2}(l-z).$$

Rimesso ora dalla trave il carico ripartito, si applichino ai due capi dell'articolazione  $C$  svincolata, secondo l'asse del pendolo  $e$  ad es. coi sensi indicati in fig. 51 e), due forze opposte  $X=1$ ; trattandosi di indeterminazione interna, i vincoli esterni risultano

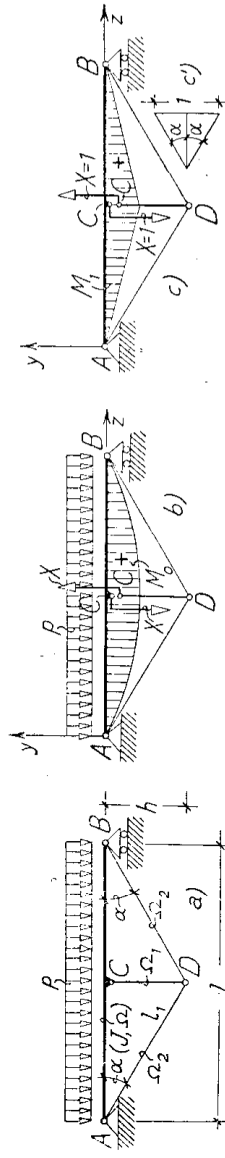


Fig. 51

notoriamente scarichi, mentre nascono nelle due parti del sistema le ovvie caratteristiche indicate nella Tabella I/25; a giustificazione, si osservi comunque che delle due forze unitarie, quella direttamente applicata alla trave non interessa che la trave stessa, con un momento  $M_1$  ad andamento lineare simmetrico sui due tronchi  $AC$  e  $BC$ :

$$(b) \quad M_1 = \frac{1}{2}z^2 ;$$

quella applicata all'estremità del pendolo  $CD$ , impronta invece unicamente a forza normale tutte le membra-ture delle due parti del sistema, e cioè a trazione con valore  $N_1 = 1$  il pendolo  $CD$ , a compressione i due pen-doli simmetrici  $DA$  e  $DB$  in misura di  $1/2 \operatorname{sen}\alpha$ , a trazione ancora la trave  $AB$  in misura di  $1/2 \operatorname{tg}\alpha$ , come indica la decomposizione eseguita in fig. 51 c').

TABELLA I/25

TRONCO	$M_o$	$N_1$	$M_1$	$NN_1$	$MM_1$
$AC\left(0 \leqq z \leqq \frac{l}{2}\right)$	$\frac{pz}{2}(l-z)$	$+1 \cdot \frac{z}{2}$	$+1 \cdot \frac{z}{2}$	$1 \cdot \left[\frac{pz}{2}(l-z) + 1 \cdot X \frac{z}{2}\right] \frac{z}{2}$	
$BC\left(0 \leqq z' \leqq \frac{l}{2}\right)$	$\frac{pz'}{2}(l-z')$	$+1 \cdot \frac{z'}{2}$	$+1 \cdot \frac{z'}{2}$	$1 \cdot \left[\frac{pz'}{2}(l-z') + 1 \cdot X \frac{z'}{2}\right] \frac{z'}{2}$	
$CD\left(0 \leqq y \leqq \frac{l}{2} \operatorname{tg}\alpha\right)$	$0$	$+1$	$0$	$1 \cdot X$	$0$
$DA\left(0 \leqq s \leqq \frac{l}{2 \operatorname{cos}\alpha}\right)$	$0$	$-1 \cdot \frac{l}{2 \operatorname{sen}\alpha}$	$0$	$1 \cdot X \left(\frac{1}{2 \operatorname{sen}\alpha}\right)^2$	$0$
$DB$					

Sugli elementi della Tabella, l'equazione dei lavori virtuali prende la forma:

$$0 = \frac{2}{\Omega} \int_0^{l/2} (1.X/4tg^2\alpha) dz + \frac{l}{\Omega_1} \int_0^{l/tg\alpha/2} 1.X dy + \frac{2}{\Omega_2} \int_0^{l/2cos\alpha} (1.X/4sen^2\alpha) ds + \\ + \frac{2}{J} \int_0^{l/2} \left[ \frac{pz}{2} (l-z) + 1.X \frac{z}{2} \right] \frac{z}{2} dz .$$

Notando che è:

$$tg\alpha = \frac{2h}{l} \quad ; \quad sen\alpha = \frac{h}{l_1} \quad ; \quad cos\alpha = \frac{l}{2l_1} ,$$

e posto:

$$(c) \quad \lambda^2 = \frac{J}{\Omega_1 h^2} \quad ; \quad \lambda_1^2 = \frac{J}{\Omega_1 h^2} \quad ; \quad \lambda_2^2 = \frac{J}{\Omega_2 h^2} \quad ; \quad \frac{h}{l} = \mu \quad ; \quad \frac{l_1}{l} = \nu ,$$

è facile riconoscere per tale equazione la soluzione.

$$(d) \quad 1.X = - \frac{5}{8} \cdot \frac{pl}{1 + 3\lambda^2 + 24(2\lambda_1^2\mu^3 + \lambda_2^2\nu^3)} .$$

Risoltò così il sistema iperstatico, per determinare lo spostamento verticale  $\eta_C$  della mezzeria si deve associare, come detto di sopra, la deformazione effettiva, cioè quella per cui il momento  $M$  sulla trave ha la legge esplicita simmetrica:

$$(e) \quad M = M_o + \frac{1.X}{2} z = \frac{pz}{2} (l-z) - \frac{5}{16} \cdot \frac{pl}{1 + 3\lambda^2 + 24(2\lambda_1^2\mu^3 + \lambda_2^2\nu^3)} z ,$$

con il sistema di forze-tensioni che consegue nel sistema principale alla forza verticale  $P=1$  applicata in  $C$ ; ora tale condizione di carico si è già considerata per la risoluzione del sistema: precisamente, delle due forze  $X=1$ , quella applicata alla trave, essi è riconosciuto che del sistema principale tale forza interessava unicamente la trave; il sistema forze-tensioni equilibrato in parola è dunque quello caratterizzato dal diagramma simmetrico dei momenti  $M_i$  di cui alla legge (b).

Sostituendo al secondo membro della (4) di pag. 16 per  $M$  e per  $M_i$  le (e) e (b) rispettivamente, e raddop-

piando, per la simmetria, il valore dell'integrale, si ha dunque successivamente:

$$(f) \quad \eta_c = 2 \int_0^{l/2} \left[ \frac{pz}{2}(l-z) - \frac{5}{16} \cdot \frac{pl}{EJ} \cdot \frac{1 + 3\lambda^2 + 24(2\lambda_1^2\mu^3 + \lambda_2^2\nu^3)}{1 + 3\lambda^2 + 24(2\lambda_1^2\mu^3 + \lambda_2^2\nu^3)} z \right] \cdot \frac{z}{2} dz = \\ = \frac{5}{384} \cdot \frac{pl^4}{EJ} \left[ 1 - \frac{l}{1 + 3\lambda^2 + 24(2\lambda_1^2\mu^3 + \lambda_2^2\nu^3)} \right].$$

Nella trave isostatica, il momento  $M$  effettivo coincerebbe con  $M_o = \frac{pz}{2}(l-z)$ ; associando allora, con lo stesso procedimento, questa legge di  $M_o$  con quella di  $M_1$  già utilizzata, risulterebbe:

$$(f') \quad \bar{\eta}_c = 2 \int_0^{l/2} \frac{M_o M_1}{EJ} dz = 2 \int_0^{l/2} \frac{\frac{pz}{2}(l-z) \cdot \frac{z}{2}}{EJ} dz = \frac{5}{384} \cdot \frac{pl^4}{EJ},$$

che è l'espressione nota fin dalla teoria elementare delle travi inflesse, per la freccia di una trave semplice caricata uniformemente.

Dal confronto con la (f), risulta che  $\eta_c$  differisce da  $\bar{\eta}_c$  per il termine:

$$= \bar{\eta}_c = \frac{5}{384} \cdot \frac{pl^4}{EJ} \cdot \frac{l}{1 + 3\lambda^2 + 24(2\lambda_1^2\mu^3 + \lambda_2^2\nu^3)},$$

vale a dire, successivamente, in virtù della (d):

$$\bar{\eta}_c = \frac{8}{384} \cdot \frac{l^3}{EJ} \cdot \frac{5}{8} \frac{pl}{1 + 3\lambda^2 + 24(2\lambda_1^2\mu^3 + \lambda_2^2\nu^3)} = \frac{8}{384} \cdot \frac{1 \cdot Xl^3}{EJ} = \frac{1 \cdot Xl^3}{48 EJ},$$

termine che, dalla stessa teoria elementare delle travi inflesse, s'risconosce per la freccia della trave semplice soggetta a una forza  $1 \cdot X$  in mezzeria.

Questi riscontri stanno a conferma dei risultati ottenuti col principio del l.v..

Nessuna difficoltà a questo punto, procedendo in modo perfettamente identico, per determinare lo spostamento verticale  $\eta_s$  delle sezioni  $S$  a un quarto della lunga appoggio. Basterebbe infatti associare alla stessa legge (e) di  $M$  utilizzata di sopra, quella di  $M_1$

che detta nella trave semplice la forza verticale  $P=1$  applicata in  $S$ ; legge che, essendo le reazioni dei vincoli:

$$A_i = 1 \cdot \frac{3}{4} z \quad ; \quad B_i = 1 \cdot \frac{1}{4} z ,$$

è per i due tronchi  $AS$  e  $BS$  rispettivamente:

$$M_i = 1 \cdot \frac{3}{4} z \left( 0 \leq z \leq \frac{l}{4} \right) \quad ; \quad M_i = 1 \cdot \frac{1}{4} z' \left( 0 \leq z' \leq \frac{3}{4} l \right) .$$

L'unica avvertenza da avere è quella che, cambiando la legge di  $M$  al passaggio del punto  $C$  — dove in sostanza è applicata una forza concentrata  $1.X - 1$ , integrale  $\int_s^C \frac{MM_1}{EI} ds$  va ora eseguito sui tre tronchi distinti  $\overline{AS}$ ,  $\overline{SC}$ ,  $\overline{CB}$  in cui i due carichi  $P$  e  $1.X$  spezzano la trave.

**Esercizio 26** — Determinare in che misura il carico  $P$  si ripartisce fra la trave  $AB$  e il tirante di rinforzo  $CD$  di fig. 52(a), e l'abbassamento  $\gamma_C$  del punto di unione  $C$ .

—♦—

È problema analogo al precedente, di soluzione però anche più immediata.

Il sistema è ancora una volta indeterminato interamente, l'ipersstatica essendo la tensione  $X$  nel punto  $CD$ ; corrispondentemente il sistema principale, quale si ottiene rimuovendo ad es. l'articolazione in  $C$  (fig. 52(b)), è costituito dalla trave semplice  $AB$  e dal tirante pensile  $CD$ .

Di queste due parti, il carico  $P$  interessa unicamente la trave, provocandovi il noto diagramma triangolare simmetrico dei momenti:

$$(a) \quad M_o = \frac{P}{2} z .$$

D'altra parte, applicate ai due capi dell'articolazione rimossa due forze unitarie opposte  $X=1$ , ad

es. coi sensi indicati in fig. 52c), sulla trave nasce il diagramma  $M_1$  affine al precedente:

$$(b) \quad M_1 = -\frac{1}{2} z ;$$

nel tirante si ha invece uno sforzo di trazione  $N_1 = 1$ .

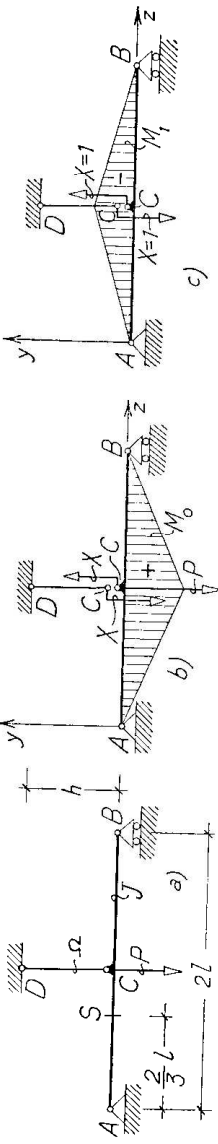


Fig. 52

Tenendo conto della forza normale e del momento, si hanno dunque nel sistema assegnato le caratteristiche

TABELLA I/26

TRONCO	$N$	$M$	$NN_1$	$MM_1$
$AD \in BD \quad (0 \leq z \leq l/2)$	0	$\frac{1}{2} (P - 1 \cdot X) z$	0	$-1 \cdot (P - 1 \cdot X) \frac{z^2}{4}$
$CD \quad (0 \leq y \leq h)$	$1 \cdot X$	0	$1^2 \cdot X$	0

effettive della Tabella I/26, e l'equazione dei 1. v. diviene semplicemente:

$$0 = \int_0^h \frac{1 \cdot X}{\Omega} dy + 2 \int_0^{l/2} \frac{-(P - 1 \cdot X) z^2}{4 J} dz = 1 \cdot X \frac{h}{\Omega} - \frac{(P - 1 \cdot X) l^3}{6 J} ,$$

con soluzione:

$$(c) \quad 1 \cdot X = \frac{P}{I - 6 \mu \nu^2} ,$$

dove si è posto:

$$(d) \quad \mu = \frac{h}{l} , \quad \nu^2 = \frac{J}{\Omega l^2} .$$

Sostituendo questa soluzione nella seconda colonna della Tabella, la legge esplicita del momento  $M$  effettivo — sempre simmetrica — è:

$$(e) \quad M = \frac{P}{2} \left( 1 - \frac{1}{1 + 6 \mu \nu^2} \right) z .$$

Secondo il procedimento descritto all'esercizio precedente, per determinare  $\eta_c$  dovremmo ora associare a questa legge quella (b) di  $M_1$  già utilizzata di sopra, e risulterebbe di seguito:

$$(f) \quad \eta_c = 2 \int_0^l \frac{M M_1}{E J} dz = \frac{2}{E J} \int_0^l \frac{P}{2} \left( 1 - \frac{1}{1 + 6\mu\nu^2} \right) \left( -\frac{l}{2} \right) z^2 dz = -\frac{P l^3}{6 E J} \left( 1 - \frac{1}{1 + 6\mu\nu^2} \right),$$

dove si noti, come avvertimmo già esplicitamente alla fine del secondo capoverso di pag. 17, il segno negativo sta ad indicare che lo spostamento  $\eta_c$  è di senso opposto a quello previsto in fig. 52(c) per la  $X=1$  applicata alla trave, vale a dire verso il basso.

Anzichè per questa via — che abbiamo seguito solo per meglio illustrarla e per avere insieme un controllo del risultato — si arriva però qui più rapidamente allo scopo osservando che lo spostamento  $\eta_c$ , per la solidarietà delle due parti del sistema in corrispondenza del punto di unione C, altro non è che l'allungamento provocato nel tirante CD dallo sforzo 1.X. È perciò direttamente, tenuto conto della (c):

$$(f') \quad \eta_c = \frac{1 \cdot X h}{E \Omega} = \frac{Ph}{E \Omega (1 + 6\mu\nu^2)} ;$$

con riguardo alle posizioni (d), è immediato riconoscere che tale espressione coincide con la (f).

L'associazione alla legge (e) di  $M$  di quella del momento  $M_1$  destato dalla condizione di carico unitario  $P=1$  nel punto e nella direzione in cui si vuole lo spostamento, sarebbe stata invece più conveniente se, anzichè della mezzeria C, si fosse trattato dello spostamento di un altro punto della trave, ad es. della sezione S a un terzo della luce da A (fig. 52(a)). Applicando una forza verticale  $P=1$  in tale sezione sarebbe:

$$\text{in } AS : \quad M_1 = A_1 z = 1 \cdot \frac{2}{3} z \quad (0 \leq z \leq \frac{2}{3} l)$$

$$\gg SD : \quad M_1 = A_1 z - 1 \cdot \left( z - \frac{2}{3} l \right) = 1 \cdot \frac{l}{3} (2l - z) \quad \left( \frac{2}{3} l \leq z \leq l \right)$$

$$\gg BS : \quad M_1 = B_1 z' = 1 \cdot \frac{1}{3} z' \quad (0 \leq z' \leq \frac{4}{3} l).$$

Spezzando l'integrazione del prodotto  $MM_1$  ai tre tronchi  $\overline{AS}$ ,  $\overline{SD}$  e  $\overline{BD}$ , si otterrebbe in conseguenza:

$$\eta_S = \frac{l}{EJ} \int_0^{2l/3} 1 \cdot \frac{P}{2} \left( 1 - \frac{l}{1+6\mu\nu^2} \right) \cdot \frac{2}{3} z^2 dz + \frac{1}{EJ} \int_{2l/3}^l 1 \cdot \frac{P}{2} \left( 1 - \frac{l}{1+6\mu\nu^2} \right) \cdot \frac{l}{3} (2l-z) z dz + \\ + \frac{l}{EJ} \int_0^l 1 \cdot \frac{P}{2} \left( 1 - \frac{l}{1+6\mu\nu^2} \right) \cdot \frac{l}{3} z'^2 dz' ,$$

e con facili sviluppi:

$$(g) \quad \eta_S = \frac{23}{162} \cdot \frac{Pl^3}{EJ} \left( 1 - \frac{l}{6\mu\nu^2} \right) .$$

Ricorrendo alla teoria elementare delle travi inflesse, lo stesso spostamento si determinerebbe come inflessione, in corrispondenza della sezione  $S$ , nella trave semplice gravata in mezzeria dal carico concentrato  $P - 1.X = P \left( 1 - \frac{l}{1+6\mu\nu^2} \right)$ .

L'equazione in termini finiti della linea elastica della trave in tali condizioni, detta  $L = 2l$  la luce, è infatti notoriamente:

$$\eta = \frac{(P - 1.X)L^3}{48EJ} \left[ 3 \cdot \frac{z}{L} - 4 \left( \frac{z}{L} \right)^3 \right] ,$$

e basta introdurvi per  $z$  il valore  $z = \frac{L}{3} = \frac{2}{3}l$ , per ritrovare immediatamente l'espressione (g) di  $\eta_S$ .

---